

การวางแผนการบำรุงรักษาเชิงพยากรณ์ในสายการประกอบตัวถังรถบรรทุก



นาย เดชรัตน์ สัมฤทธิ์

ศูนย์วิจัยทรัพยากร

จุฬาลงกรณ์มหาวิทยาลัย

วิทยานิพนธ์นี้เป็นส่วนหนึ่งของการศึกษาตามหลักสูตรปริญญาวิศวกรรมศาสตรมหาบัณฑิต

ภาควิชาวิศวกรรมอุตสาหกรรม

บัณฑิตวิทยาลัย จุฬาลงกรณ์มหาวิทยาลัย

ปีการศึกษา 2539

ISBN 974-636-427-8

ลิขสิทธิ์ของบัณฑิตวิทยาลัย จุฬาลงกรณ์มหาวิทยาลัย

I17061763

PREDICTIVE MAINTENANCE PLANNING IN A BODY ASSEMBLY
LINE OF COMMERCIAL VEHICLES



DETCARAT SUMRIT

ศูนย์วิทยทรัพยากร

A Thesis Submitted in Partial Fulfillment of Requirements
for the Degree of Master of Engineering

Department of Industrial Engineering

Graduate School

Chulalongkorn University

Academic Year 1996

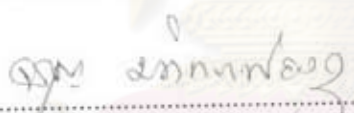
ISBN 974-636-427-8

หัวข้อวิทยานิพนธ์ การวางแผนบำรุงรักษาเชิงพยากรณ์ในสายการประกอบตัวถัง
รถบรรทุก
โดย นาย เดชรัตน์ สัมฤทธิ์
ภาควิชา วิศวกรรมอุตสาหการ
อาจารย์ที่ปรึกษา ผู้ช่วยศาสตราจารย์ ดร. มานพ เรียวเดชะ

บัณฑิตวิทยาลัย จุฬาลงกรณ์มหาวิทยาลัย อนุมัติให้วิทยานิพนธ์นี้เป็นส่วนหนึ่งของการศึกษาตามหลักสูตรปริญญามหาบัณฑิต


.....คณบดีบัณฑิตวิทยาลัย
(ศาสตราจารย์ นายแพทย์ สุวัฒน์ ชุตินวงศ์)

คณะกรรมการสอบวิทยานิพนธ์


.....ประธานกรรมการ
(รองศาสตราจารย์ จรุง มหิตาฟองกุล)


.....อาจารย์ที่ปรึกษา
(ผู้ช่วยศาสตราจารย์ ดร. มานพ เรียวเดชะ)


.....กรรมการ
(ผู้ช่วยศาสตราจารย์ ดร. เจริญ บุญดีสกุลโชค)


.....กรรมการ
(รองศาสตราจารย์ ดร. ชูเวช ชาญสง่าเวช)

พิมพ์ต้นฉบับบทคัดย่อวิทยานิพนธ์ภายในกรอบสี่เหลี่ยมนี้เพียงแผ่นเดียว



เดชรัตน์ สัมฤทธิ์ : การวางแผนการบำรุงรักษาเชิงพยากรณ์ในสายการประกอบตัวถังรถ
บรรทุก (PREDICTIVE MAINTENANCE PLANNING IN A BODY ASSEMBLY LINE
OF COMMERCIAL VEHICLES) อาจารย์ที่ปรึกษา : ผ.ศ.ดร. มานพ เรียวเดชะ , 181 หน้า
ISBN 974-636-427-8

การวิจัยนี้เป็นการศึกษาการวางแผนการบำรุงรักษาเชิงพยากรณ์ ของสายการประกอบตัวถังรถบรรทุก โดยมีวัตถุประสงค์เพื่อพยากรณ์อายุการใช้งานและภาระงานที่เหมาะสมของเครื่องจักรป็นเชื่อม ซึ่งเป็นเครื่องจักรหลักที่ใช้ในการผลิตตัวถังรถบรรทุก ผลของการพยากรณ์ได้ถูกนำไปประยุกต์ใช้ในการวางแผนการซ่อมบำรุงและเปลี่ยนทดแทนเครื่องจักร และอุปกรณ์เพื่อลดปัญหาการหยุดสายการผลิตและลดปัญหาคุณภาพตัวถังด้านความแข็งแรงของจุดเชื่อมและด้านคุณภาพผิว ในการวิจัยนี้ ผู้วิจัยได้ทำการศึกษา เฉพาะในอุปกรณ์หัวเชื่อมอิลคโตรด และอุปกรณ์สายเคเบิล Kickless ของป็นเชื่อม

ในการวิจัยอุปกรณ์หัวเชื่อมอิลคโตรด ผู้วิจัยได้ทำการทดลองเพื่อหาความสัมพันธ์ระหว่างจำนวน จุดเชื่อม กับค่าความแข็งแรงของจุดเชื่อม พบว่ามีความสัมพันธ์ในเชิงสถิติอย่างมีนัยสำคัญ และสามารถสร้างสมการความสัมพันธ์ทางคณิตศาสตร์ เพื่อหาอายุการใช้งานและภาระงานที่เหมาะสมของหัวเชื่อมอิลคโตรด และจากการนำผลการพยากรณ์ไปประยุกต์ใช้ในการสร้างแผนการบำรุงรักษา และนำไปทดลองปฏิบัติเป็นระยะเวลา 8 เดือน จากการทำการเก็บข้อมูลพบว่า การหยุดสายการผลิตเนื่องจากความบกพร่องของอุปกรณ์หัวเชื่อมอิลคโตรด ลดลงเฉลี่ยจาก 569 นาทีต่อเดือน เหลือ 190 นาทีต่อเดือน , ภาระงาน ในการซ่อมตัวถังที่ความแข็งแรงของจุดเชื่อมไม่แข็งแรง ลดลงเฉลี่ยจาก 130 คันต่อเดือน เหลือ 51 คันต่อเดือน ภาระงานในการซ่อมผิวตัวถังเนื่องจากคุณภาพผิว ลดลงเฉลี่ยจาก 312 คันต่อเดือน เหลือ 126 คันต่อเดือน และต้นทุนการผลิตในการใช้เปลี่ยนทดแทนหัวเชื่อมอิลคโตรด ลดลงประมาณ 23.95 เปอร์เซ็นต์ หรือประมาณ 234,310 บาทต่อเดือน

การวิจัยอุปกรณ์สายเคเบิล Kickless ผู้วิจัยแบ่งกลุ่มการทดลองเพื่อศึกษาพฤติกรรมการเสื่อมสภาพ ของสายเคเบิล Kickless ออกตามประเภทของสายเคเบิล Kickless ทุกประเภท ที่ใช้ในขบวนการเชื่อมตัวถัง จากการศึกษาพารามิเตอร์ต่าง ๆ ที่ส่งผลต่อการเสื่อมสภาพของสายเคเบิล Kickless ในแต่ละกลุ่ม พบว่า ความต้านทานภายในเป็นพารามิเตอร์ที่สามารถวัดความเสื่อมสภาพของสายเคเบิล Kickless ในแต่ละกลุ่ม ได้อย่างมีนัยสำคัญทางสถิติ และจากการทดลองหาความสัมพันธ์ระหว่างจำนวนจุดเชื่อมกับความต้านทานภายในที่เปลี่ยนแปลงพบว่า สามารถพยากรณ์จำนวนจุดเชื่อมที่เหมาะสมสำหรับสายเคเบิล Kickless ในแต่ละกลุ่มการทดลอง และสามารถนำผลพยากรณ์ไปวางแผนบำรุงรักษาเพื่อเปลี่ยนทดแทนสายเคเบิล Kickless และได้กำหนดจุดเชื่อมให้เหมาะสมกับสายเคเบิล Kickless แต่ละประเภท

ภาควิชาวิศวกรรมอุตสาหการ
สาขาวิชาวิศวกรรมอุตสาหการ
ปีการศึกษา2539.....

ลายมือชื่อนิติต
ลายมือชื่ออาจารย์ที่ปรึกษา
ลายมือชื่ออาจารย์ที่ปรึกษาร่วม

พิมพ์ต้นฉบับบทความวิทยานิพนธ์ภายในกรอบสี่เหลี่ยมนี้เพียงแผ่นเดียว

C 616513 : MAJOR INDUSTRIAL ENGINEERING

KEY WORD: SPOT WELDING GUN

DETHARAT SUMRIT : PREDICTIVE MAINTENANCE PLANNING
IN A BODY ASSEMBLY LINE OF COMMERCIAL VEHICLES.

THESIS ADVISOR : ASSIST.PROF. MANOP REODECHA, Ph.D
181 pp. ISBN 974-636-427-8

This research applies predictive maintenance planning to an assembly line of bodies of commercial vehicles. The objective of the research is to predict suitable life and work load of spot welding guns which are one of the most important machines in the body assembly process. The prediction is applied in maintenance planning and in establishing a replacement policy of welding parts. The plan and the policy will reduce line stoppages and improve weld qualities in terms of strength and surface. This research studies tip electrodes and Kickless cables of spot welding guns.

A relation between the number of spot weld points done by a tip electrode and their shear strength is determined by statistical method. It can be concluded that the number of spot weld points and their shear strength has a linear relation. An equation is determined for predicting the life and the suitable work load of spot welding guns. The prediction has been used for maintenance planning months. The results show significant improvements. Line stoppage due to defects of tip electrodes decreases from 569 minutes/month to 190 minutes/month. The number of white body defects due to inadequate shear strength is decreased from 130 units/month to 51 units/month. The number of white body defects due to surface quality problem is decreased from 312 units/month to 126 units/month. The total costs of tip electrode replacements is decreased by 23.95% or 234,310 bath/month.

In the study on kickless cables experiments has been carried on all the types of kickless cables to study their behavior. It can be concluded that electrical resistance affects deterioration of the cables. Experiments to determine relationships between the number of welds done and the change in electrical resistance indicate that the resistance change can be used to predict the suitable number of spot welding points effectively. The suitable number of welds before replacement of each kind of cable is determined in the study.

ภาควิชา.....วิศวกรรมอุตสาหกรรม.....

สาขาวิชา.....วิศวกรรมอุตสาหกรรม.....

ปีการศึกษา..... 2539.....

ลายมือชื่อนิติ..... *Sumrit*.....

ลายมือชื่ออาจารย์ที่ปรึกษา..... *Manop*.....

ลายมือชื่ออาจารย์ที่ปรึกษาร่วม.....

กิตติกรรมประกาศ

วิทยานิพนธ์ฉบับนี้สำเร็จได้ด้วยดีด้วยความอนุเคราะห์จาก ผู้ช่วยศาสตราจารย์ ดร. มานพ เรี่ยวเดชะ อาจารย์ที่ปรึกษาวิทยานิพนธ์ ผู้ช่วยศาสตราจารย์ ดร. เจริญ บุญดีสกุลโชค กรรมการ รองศาสตราจารย์ ดร. ชูเวช ชาญสง่าเวช กรรมการ รวมทั้ง รองศาสตราจารย์ จรูญ มหิตธาฟองกุล ประธานกรรมการ ตลอดจนผู้ทรงคุณวุฒิทุกท่าน ที่ได้กรุณาให้คำแนะนำ แก้ไข และปรับปรุงวิทยานิพนธ์ให้สมบูรณ์ยิ่งขึ้น ผู้วิจัยขอกราบขอบพระคุณทุกท่านเป็นอย่างสูงไว้ ณ โอกาสนี้

งานวิจัยนี้ได้รับความช่วยเหลืออย่างดีจาก คุณ อำนาง เสตสุวรรณ ประโยชน์และ ส่วนดีของวิทยานิพนธ์เล่มนี้ ผู้วิจัยหวังเป็นอย่างยิ่งว่าจะสามารถเป็นประโยชน์ต่อผู้ที่สนใจทุกท่าน และจะสามารถเป็นพื้นฐานแนวทางในการศึกษาต่อไป

นาย เดชรัตน์ สัมฤทธิ์

พฤษภาคม 2540

ศูนย์วิทยพัทยากร
จุฬาลงกรณ์มหาวิทยาลัย

สารบัญ

หน้า

บทคัดย่อภาษาไทย.....	ง
บทคัดย่อภาษาอังกฤษ.....	จ
กิตติกรรมประกาศ.....	ฉ
สารบัญตาราง.....	ช
สารบัญรูป.....	ต
บทที่ 1 บทนำ.....	1
บทที่ 2 ทฤษฎีและวรรณกรรมที่เกี่ยวข้อง.....	7
บทที่ 3 การศึกษาสภาพทั่วไปและสภาพการผลิตของโรงงานกรณีศึกษา.....	18
บทที่ 4 ระเบียบวิธีการวิจัย.....	23
บทที่ 5 สรุปและข้อเสนอแนะ.....	64
รายการอ้างอิง.....	67
ภาคผนวก ก รายละเอียดการทำงานในสายการประกอบตัวถังรถบรรทุก.....	69
ภาคผนวก ข การทดสอบการทนต่อแรงดึงของรอย Spot.....	87
ภาคผนวก ค การหาจำนวนซ้ำจาก OC Curve.....	94
ภาคผนวก ง การหาจำนวนจุดเชื่อมของหัวอิเล็กโทรด.....	106
ภาคผนวก จ การทดสอบความน่าเชื่อถือของคุณภาพจุดเชื่อม.....	134
ภาคผนวก ฉ แสดงการติดตั้งระบบเชื่อม Step up.....	143
ภาคผนวก ช การประมวลผลทางสถิติ.....	151
ประวัติผู้เขียน.....	181

สารบัญตาราง

ตารางที่	หน้า
4.1. แสดงการแบ่งกลุ่มการทดลองแยกตามประเภทของ ขบวนการประกอบตัวถัง.....	29
4.2. แสดงข้อมูลของค่า Shear strength.....	33
4.3. แสดงค่าการทดสอบ Shear Strength ของจุดเชื่อมตำแหน่งต่าง ๆ ของกลุ่มที่ 1 เมื่อใช้กระแสไฟ 9.4 กิโลแอมป์.....	34
4.4 แสดงผลการวิเคราะห์การพยากรณ์เพื่อหาจำนวนจุดเชื่อมในการใช้งาน ของหัวเชื่อมอิลคโตรด ของกลุ่มที่ 1 เหล็กหนา 0.8 มม. กับ เหล็กหนา 0.8 มม. ขนาดหัวเชื่อมอิลคโตรดเส้นผ่านศูนย์กลาง 6 มม.....	36
4.5 แสดงผลการวิเคราะห์การพยากรณ์เพื่อหาจำนวนจุดเชื่อมในการใช้งาน ของหัวเชื่อมอิลคโตรด ของกลุ่มที่ 1 เหล็กหนา 0.8 มม. กับ เหล็กหนา 1.0 มม. ขนาดหัวเชื่อมอิลคโตรดเส้นผ่านศูนย์กลาง 6 มม.....	40
4.6 แสดงผลการวิเคราะห์การพยากรณ์เพื่อหาจำนวนจุดเชื่อมในการใช้งาน ของหัวเชื่อมอิลคโตรด ของกลุ่มที่ 1 เหล็กหนา 1.0 มม. กับ เหล็กหนา 1.0 มม. ขนาดหัวเชื่อมอิลคโตรดเส้นผ่านศูนย์กลาง 8 มม.....	44
4.7 แสดงการสรุปผลการพยากรณ์หาจำนวนจุดเชื่อมเมื่อเพิ่มกระแสไฟใน แต่ละชั้น.....	48
4.8 แสดงจำนวนรอยเชื่อมภายหลังปรับค่าเผื่อ (Safety factor) ในแต่ละรอบลง 10%.....	49
4.9 แสดงการเปรียบเทียบจำนวนการใช้หัวเชื่อมอิลคโตรด และค่าใช้จ่าย ก่อนการปรับปรุง และภายหลังปรับปรุง.....	50.
4.10 แสดงค่าความต้านทานของสายเคเบิล KICKLESS.....	57
4.11 แสดงค่าเฉลี่ยของความต้านทานของสายเคเบิล KICKLESS.....	57
ข.1 แสดงขนาดของชิ้นงานที่จะใช้ทดสอบ.....	88
ข.2 แสดงจำนวนชิ้นงานที่ใช้ในการทดสอบ.....	91

สารบัญตาราง (ต่อ)

ตารางที่	หน้า
ข.3 แสดงค่ามาตรฐานแรงดึงในการทดสอบ.....	93
ค.1 แสดงข้อมูลของค่า Shear strength ของชิ้นงานทดสอบ ของกลุ่การทดลองที่ 1.....	94
ค.2 แสดงการคำนวณหาจำนวนตัวอย่างที่เหมาะสมของกลุ่การทดลองที่ 1 ที่ระดับความเชื่อมั่น 95 %	94
ค.3 แสดงข้อมูลของค่า Shear strength ของชิ้นงานทดสอบ ของกลุ่การทดลองที่ 2.....	95
ค.4 แสดงการคำนวณหาจำนวนตัวอย่างที่เหมาะสมของกลุ่การทดลองที่ 2 ที่ระดับความเชื่อมั่น 95 %	95
ค.5 แสดงข้อมูลของค่า Shear strength ของชิ้นงานทดสอบ ของกลุ่การทดลองที่ 3.....	97
ค.6 แสดงการคำนวณหาจำนวนตัวอย่างที่เหมาะสมของกลุ่การทดลองที่ 3 ที่ระดับความเชื่อมั่น 95 %	97
ค.7 แสดงผลการทดสอบหาจุดเชื่อมหลังจากเพิ่มกระแสไฟ แลทดสอบจุดเชื่อมด้วยวิธี CHISEL.....	99
ค.8 แสดงขนาดหัวเชื่อมที่สึกออกไปเมื่อใช้เชื่อมชิ้นงานไปแล้ว 500 จุด โดยใช้ไฟ 9.4 KA	100
ค.9 แสดงขนาดหัวเชื่อมที่สึกออกไปเมื่อใช้เชื่อมชิ้นงานไปแล้ว 1200 จุด โดยใช้ไฟ 10.2 KA	101
ค.10 แสดงขนาดหัวเชื่อมที่สึกออกไปเมื่อใช้เชื่อมชิ้นงานไปแล้ว 400 จุด โดยใช้ไฟ 9.6 KA	102
ค.11 แสดงขนาดหัวเชื่อมที่สึกออกไปเมื่อใช้เชื่อมชิ้นงานไปแล้ว 650 จุด โดยใช้ไฟ 10.8 KA	102
ค.12 แสดงขนาดหัวเชื่อมที่สึกออกไปเมื่อใช้เชื่อมชิ้นงานไปแล้ว 350 จุด โดยใช้ไฟ 9.7 KA	103

สารบัญตาราง(ต่อ)

ตารางที่	หน้า
ค.13 แสดงขนาดหัวเชื่อมที่สึกออกไปเมื่อใช้เชื่อมชิ้นงานไปแล้ว 650 จุด โดยใช้ไฟ 11.0 KA.....	104
ค.14 แสดงการเพิ่มกระแสไฟเชื่อมแต่ละชั้นในชิ้นงานแต่ละกลุ่ม.....	104
ค.15 แสดงข้อมูลของความต้านทานของสายเคเบิล KICKLESS.....	105
ค.16 แสดงการคำนวณหาจำนวนตัวอย่างที่เหมาะสมของสายเคเบิล KICKLESS ที่ระดับความเชื่อมั่น 95 %.....	105
ง.1 แสดงค่าการทดสอบ Shear Strength ของจุดของกลุ่มการทดลองที่ 1 เมื่อใช้ไฟ 9.4 กิโลแอมป์.....	106
ง.2 แสดงค่าการทดสอบ Shear Strength ของจุดของกลุ่มการทดลองที่ 1 เมื่อใช้ไฟ 10.2 กิโลแอมป์.....	107
ง.3 แสดงค่าการทดสอบ Shear Strength ของจุดของกลุ่มการทดลองที่ 1 เมื่อใช้ไฟ 10.9 กิโลแอมป์.....	108
ง.4 แสดงค่าการทดสอบ Shear Strength ของจุดของกลุ่มการทดลองที่ 2 เมื่อใช้ไฟ 9.6 กิโลแอมป์.....	109
ง.5 แสดงค่าการทดสอบ Shear Strength ของจุดของกลุ่มการทดลองที่ 2 เมื่อใช้ไฟ 10.8 กิโลแอมป์.....	110
ง.6 แสดงค่าการทดสอบ Shear Strength ของจุดของกลุ่มการทดลองที่ 2 เมื่อใช้ไฟ 11.6 กิโลแอมป์.....	111
ง.7 แสดงค่าการทดสอบ Shear Strength ของจุดของกลุ่มการทดลองที่ 3 เมื่อใช้ไฟ 9.7 กิโลแอมป์.....	112
ง.8 แสดงค่าการทดสอบ Shear Strength ของจุดของกลุ่มการทดลองที่ 3 เมื่อใช้ไฟ 11.0 กิโลแอมป์.....	113
ง.9 แสดงค่าการทดสอบ Shear Strength ของจุดของกลุ่มการทดลองที่ 3 เมื่อใช้ไฟ 12.0 กิโลแอมป์.....	114

สารบัญตาราง(ต่อ)

ตารางที่	หน้า
ง.10 แสดงผลการทดสอบค่าสถิติของสมการถดถอยซึ่งใช้พยากรณ์ ความสัมพันธ์ระหว่างจำนวนจุดเชื่อมกับค่า Shear strength ของกลุ่มทดลองที่ 1 เมื่อใช้กระแสไฟฟ้า 9.4 กิโลแอมป์	116
ง.11 แสดงการวิเคราะห์ความเชื่อถือของสมการถดถอย ของกลุ่มการทดลองที่ 1 เมื่อใช้กระแสไฟฟ้า 9.4 กิโลแอมป์.....	117
ง.12 แสดงผลการทดสอบค่าสถิติของสมการถดถอยซึ่งใช้พยากรณ์ ความสัมพันธ์ระหว่างจำนวนจุดเชื่อมกับค่า Shear strength ของกลุ่มทดลองที่ 1 เมื่อใช้กระแสไฟฟ้า 10.2 กิโลแอมป์.....	118
ง.13 แสดงการวิเคราะห์ความเชื่อถือของสมการถดถอย ของกลุ่มการทดลองที่ 1 เมื่อใช้กระแสไฟฟ้า 10.2 กิโลแอมป์.....	119
ง.14 แสดงผลการทดสอบค่าสถิติของสมการถดถอยซึ่งใช้พยากรณ์ ความสัมพันธ์ระหว่างจำนวนจุดเชื่อมกับค่า Shear strength ของกลุ่มทดลองที่ 1 เมื่อใช้กระแสไฟฟ้า 10.9 กิโลแอมป์	120
ง.15 แสดงการวิเคราะห์ความเชื่อถือของสมการถดถอย ของกลุ่มการทดลองที่ 1 เมื่อใช้กระแสไฟฟ้า 10.9 กิโลแอมป์.....	121
ง.16 แสดงผลการทดสอบค่าสถิติของสมการถดถอยซึ่งใช้พยากรณ์ ความสัมพันธ์ระหว่างจำนวนจุดเชื่อมกับค่า Shear strength ของกลุ่มทดลองที่ 2 เมื่อใช้กระแสไฟฟ้า 9.6 กิโลแอมป์	122
ง.17 แสดงการวิเคราะห์ความเชื่อถือของสมการถดถอย ของกลุ่มการทดลองที่ 1 เมื่อใช้กระแสไฟฟ้า 9.6 กิโลแอมป์.....	123
ง.18 แสดงผลการทดสอบค่าสถิติของสมการถดถอยซึ่งใช้พยากรณ์ ความสัมพันธ์ระหว่างจำนวนจุดเชื่อมกับค่า Shear strength ของกลุ่มทดลองที่ 2 เมื่อใช้กระแสไฟฟ้า 10.8 กิโลแอมป์.....	124

สารบัญตาราง(ต่อ)

ตารางที่	หน้า
ง.19 แสดงการวิเคราะห์ความเชื่อถือของสมการถดถอย ของกลุ่การทดลองที่ 2 เมื่อใช้กระแสไฟฟ้า 9.6 กิโลแอมป์.....	125
ง.20 แสดงผลการทดสอบค่าสถิติของสมการถดถอยซึ่งใช้พยากรณ์ ความสัมพันธ์ระหว่างจำนวนจุดเชื่อมกับค่า Shear strength ของกลุ่การทดลองที่ 2 เมื่อใช้กระแสไฟฟ้า 11.6 กิโลแอมป์.....	126
ง.21 แสดงการวิเคราะห์ความเชื่อถือของสมการถดถอย ของกลุ่การทดลองที่ 2 เมื่อใช้กระแสไฟฟ้า 11.6 กิโลแอมป์.....	127
ง.22 แสดงผลการทดสอบค่าสถิติของสมการถดถอยซึ่งใช้พยากรณ์ ความสัมพันธ์ระหว่างจำนวนจุดเชื่อมกับค่า Shear strength ของกลุ่การทดลองที่ 3 เมื่อใช้กระแสไฟฟ้า 9.7 กิโลแอมป์.....	128
ง.23 แสดงการวิเคราะห์ความเชื่อถือของสมการถดถอย ของกลุ่การทดลองที่ 3 เมื่อใช้กระแสไฟฟ้า 9.7 กิโลแอมป์.....	129
ง.24 แสดงผลการทดสอบค่าสถิติของสมการถดถอยซึ่งใช้พยากรณ์ ความสัมพันธ์ระหว่างจำนวนจุดเชื่อมกับค่า Shear strength ของกลุ่การทดลองที่ 3 เมื่อใช้กระแสไฟฟ้า 11.0 กิโลแอมป์	130
ง.25 แสดงการวิเคราะห์ความเชื่อถือของสมการถดถอย ของกลุ่การทดลองที่ 3 เมื่อใช้กระแสไฟฟ้า 11.0 กิโลแอมป์.....	131
ง.26 แสดงผลการทดสอบค่าสถิติของสมการถดถอยซึ่งใช้พยากรณ์ ความสัมพันธ์ระหว่างจำนวนจุดเชื่อมกับค่า Shear strength ของกลุ่การทดลองที่ 3 เมื่อใช้กระแสไฟฟ้า 12.0 กิโลแอมป์.....	132
ง.27 แสดงการวิเคราะห์ความเชื่อถือของสมการถดถอย ของกลุ่การทดลองที่ 3 เมื่อใช้กระแสไฟฟ้า 12.0 กิโลแอมป์.....	133
จ.1 แสดงค่าการทดสอบ Shear streagth ของจุดเชื่อมที่ 589.....	134
จ.2 แสดงค่าการทดสอบ Shear streagth ของจุดเชื่อมที่ 621.....	134
จ.3 แสดงค่าการทดสอบ Shear streagth ของจุดเชื่อมที่ 770.....	135

สารบัญตาราง(ต่อ)

ตารางที่	หน้า
จ.4 แสดงค่าการทดสอบ Shear strength ของจุดเชื่อมที่ 813.....	135
จ.5 แสดงค่าการทดสอบ Shear strength ของจุดเชื่อมที่ 847.....	136
จ.6 แสดงค่าการทดสอบ Shear strength ของจุดเชื่อมที่ 895.....	136
จ.7 แสดงค่าการทดสอบ Shear strength ของจุดเชื่อมที่ 324.....	137
จ.8 แสดงค่าการทดสอบ Shear strength ของจุดเชื่อมที่ 342.....	137
จ.9 แสดงค่าการทดสอบ Shear strength ของจุดเชื่อมที่ 676.....	138
ฉ.1 แสดงผลการติดตั้งระบบเชื่อม Step up ให้สถานีการผลิต ของกุ่มชิ้นงานเหล็กหนา 0.8 มิลลิเมตร กับ 0.8 มิลลิเมตร หัวเชื่อมอิเล็กโตรด ขนาดเส้นผ่านศูนย์กลาง 6 มิลลิเมตร.....	143
ฉ.2 แสดงผลการติดตั้งระบบเชื่อม Step up ให้สถานีการผลิต ของกุ่มชิ้นงานเหล็กหนา 0.8 มิลลิเมตร กับ 1.0 มิลลิเมตร หัวเชื่อมอิเล็กโตรด ขนาดเส้นผ่านศูนย์กลาง 6 มิลลิเมตร.....	146
ฉ.3 แสดงผลการติดตั้งระบบเชื่อม Step up ให้สถานีการผลิต ของกุ่มชิ้นงานเหล็กหนา 1.0 มิลลิเมตร กับ 1.0 มิลลิเมตร หัวเชื่อมอิเล็กโตรด ขนาดเส้นผ่านศูนย์กลาง 8 มิลลิเมตร.....	149
ช.1 แสดงข้อมูลการวัดความต้านทานที่เสถียรภาพของกุ่มทดลองที่ 1 สายเคเบิล KICKLESS ชนิด U TYPE ความยาว 2.0 เมตร.....	152
ช.2 แสดงการทดสอบภาวะรูปสนิมของการกระจายความถี่ของข้อมูล ค่าความต้านทานที่เสถียรภาพของสายเคเบิล KICKLESS ชนิด U TYPE ความยาว 2.0 เมตร.....	154
ช.3 แสดงข้อมูลการวัดความต้านทานที่เสถียรภาพของกุ่มทดลองที่ 2 สายเคเบิล KICKLESS ชนิด U TYPE ความยาว 2.2 เมตร.....	155
ช.4 แสดงการทดสอบภาวะรูปสนิมของการกระจายความถี่ของข้อมูล ค่าความต้านทานที่เสถียรภาพของสายเคเบิล KICKLESS ชนิด U TYPE ความยาว 2.2 เมตร.....	156

สารบัญตาราง(ต่อ)

ตารางที่

หน้า

ข.5 แสดงข้อมูลการวัดความต้านทานที่เสื่อมสภาพของกลุ่มทดลองที่ 3 สายเคเบิล KICKLESS ชนิด STRAIGHT TYPE ความยาว 2.0 เมตร.....	159
ข.6 แสดงการทดสอบภาวะรูปสัณฐานของการกระจายความถี่ของข้อมูล ค่าความต้านทานที่เสื่อมสภาพของสายเคเบิล KICKLESS ชนิด STRAIGHT TYPE ความยาว 2.0 เมตร.....	162
ข.7 แสดงการวิเคราะห์ความแปรปรวนสำหรับการจำแนกทางเดียว ของความต้านทานที่เสื่อมสภาพของสายเคเบิล KICKLESS ของกลุ่มการทดลองทั้ง 3 กลุ่ม.....	163
ข.8 แสดงการทดสอบความแตกต่างของค่าเฉลี่ยความต้านทานที่เสื่อมสภาพ ของสายเคเบิล KICKLESS โดยการวิเคราะห์ความแปรปรวนโดยวิธี Turkey comparision.....	164
ข.9 แสดงผลการทดลองวัดค่าความต้านทานที่เพิ่มขึ้นตามจำนวนจุดเชื่อม ในแต่ละรอบของการเปลี่ยนหัวเชื่อมอิลคโทรด ในระบบการเชื่อมแบบ Step up ของกลุ่มการทดลองที่ 1.....	164
ข.10 แสดงผลการทดลองวัดค่าความต้านทานที่เพิ่มขึ้นตามจำนวนจุดเชื่อม ในแต่ละรอบของการเปลี่ยนหัวเชื่อมอิลคโทรด ในระบบการเชื่อมแบบ Step up ของกลุ่มการทดลองที่ 2.....	167
ข.11 แสดงผลการทดลองวัดค่าความต้านทานที่เพิ่มขึ้นตามจำนวนจุดเชื่อม ในแต่ละรอบของการเปลี่ยนหัวเชื่อมอิลคโทรด ในระบบการเชื่อมแบบ Step up ของกลุ่มการทดลองที่ 3.....	170
ข.12 แสดงระยะเวลาในการเปลี่ยนทดแทน KICKLESS CABLE ชนิด U TYPE ความยาว 2.0 เมตร ตามป็นเชื่อมในระบบการ.....	173
ข.13 แสดงระยะเวลาในการเปลี่ยนทดแทน KICKLESS CABLE ชนิด U TYPE ความยาว 2.2 เมตร ตามป็นเชื่อมในระบบการ.....	176

สารบัญรูป

รูปที่	หน้า
1.1 แสดงการเปรียบเทียบอุปสงค์ความต้องการรถบรรทุก 1 ตัน ในตลาดและจำนวนการผลิตรวมของรถบรรทุก 1 ตัน.....	2
1.2 แสดงสถิติเปรียบเทียบการหยุดสายการผลิตของขบวนการผลิต รถบรรทุกของโรงงานกรณีตัวอย่างศึกษา.....	4
3.1 แสดงยอดผลิตและยอดขายรวมของโรงงานกรณีศึกษาตัวอย่าง.....	20
3.2 ผังโครงสร้างองค์กรของบริษัท.....	21
3.3 รูปแสดงขบวนการผลิตรถบรรทุก.....	22
4.1 แสดงข้อมูลสาเหตุของปัญหาการหยุดสายการผลิตรถบรรทุกในปี 2537.....	24
4.2 แสดงการแยกสาเหตุในการหยุดสายการผลิตตัวถังรถบรรทุก.....	25
4.3 แสดงข้อมูลการเสียและการชำรุดของปืนเชื่อม.....	26
4.4 แสดงหัวเชื่อมอิเล็กทรอนิกส์ที่สึกกร่อน.....	27
4.5 แสดงการตะไบหัวเชื่อมอิเล็กทรอนิกส์ของปืนเชื่อม.....	27
4.6 แสดงการติดตั้งหัวเชื่อมอิเล็กทรอนิกส์ของปืนเชื่อม.....	27
4.7 แสดงการซ่อมผิวตัวถังที่จุดเชื่อมเป็นหมาม.....	28
4.8 แสดงรูปแผ่นเหล็กและการวางตำแหน่งเชื่อม.....	30
4.9 แสดงรูปแผ่นเหล็กที่เขียนตำแหน่งรอยเชื่อมไว้.....	31
4.10 แสดงการทดสอบชิ้นงานทดลองบนเครื่องทดสอบ Tension shear test.....	32
4.11 แสดงค่าการทดสอบ Shear strength ของรอยเชื่อมกรณีเชื่อมแผ่นเหล็ก หนา 0.8 มิลลิเมตร กับแผ่นเหล็กหนา 0.8 มิลลิเมตร เมื่อใช้ไฟ 9.4 กิโลแอมป์.....	37
4.12 แสดงค่าการทดสอบ Shear strength ของรอยเชื่อมกรณีเชื่อมแผ่นเหล็ก หนา 0.8 มิลลิเมตร กับแผ่นเหล็กหนา 0.8 มิลลิเมตร เมื่อใช้ไฟ 10.2 กิโลแอมป์.....	38

สารบัญรูป(ต่อ)

รูปที่	หน้า
4.13 แสดงค่าการทดสอบ Shear strength ของจุดเชื่อมกรณีเชื่อมแผ่นเหล็ก หนา 0.8 มิลลิเมตร กับแผ่นเหล็กหนา 0.8 มิลลิเมตร เมื่อใช้ไฟ 10.9 กิโลแอมป์.....	39
4.14 แสดงค่าการทดสอบ Shear strength ของจุดเชื่อมกรณีเชื่อมแผ่นเหล็ก หนา 1.0 มิลลิเมตร กับแผ่นเหล็กหนา 0.8 มิลลิเมตร เมื่อใช้ไฟ 9.6 กิโลแอมป์.....	41
4.15 แสดงค่าการทดสอบ Shear strength ของจุดเชื่อมกรณีเชื่อมแผ่นเหล็ก หนา 1.0 มิลลิเมตร กับแผ่นเหล็กหนา 0.8 มิลลิเมตร เมื่อใช้ไฟ 10.8 กิโลแอมป์.....	42
4.16 แสดงค่าการทดสอบ Shear strength ของจุดเชื่อมกรณีเชื่อมแผ่นเหล็ก หนา 0.8 มิลลิเมตร กับแผ่นเหล็กหนา 0.8 มิลลิเมตร เมื่อใช้ไฟ 11.6 กิโลแอมป์.....	43
4.17 แสดงค่าการทดสอบ Shear strength ของจุดเชื่อมกรณีเชื่อมแผ่นเหล็ก หนา 1.0 มิลลิเมตร กับแผ่นเหล็กหนา 1.0 มิลลิเมตร เมื่อใช้ไฟ 9.7 กิโลแอมป์.....	45
4.18 แสดงค่าการทดสอบ Shear strength ของจุดเชื่อมกรณีเชื่อมแผ่นเหล็ก หนา 1.0 มิลลิเมตร กับแผ่นเหล็กหนา 1.0 มิลลิเมตร เมื่อใช้ไฟ 11.0 กิโลแอมป์.....	46
4.19 แสดงค่าการทดสอบ Shear strength ของจุดเชื่อมกรณีเชื่อมแผ่นเหล็ก หนา 1.0 มิลลิเมตร กับแผ่นเหล็กหนา 1.0 มิลลิเมตร เมื่อใช้ไฟ 12 กิโลแอมป์.....	47
4.20 แสดงการเปรียบเทียบเวลาที่หยุดสายการผลิตเนื่องจากความแข็งแรง ของจุดเชื่อมไม่เป็นไปตามข้อกำหนด.....	51
4.21 แสดงการซ่อมตัวถังเนื่องจากความแข็งแรงของจุดเชื่อมไม่เป็นไปตาม คุณภาพที่กำหนด.....	52

สารบัญรูป(ต่อ)

รูปที่	หน้า
4.23 แสดงความสัมพันธ์ระหว่างจำนวนจุดเชื่อมกับความต้านทาน ที่เปลี่ยนแปลงของสายเคเบิล KICKLESS ชนิด U TYPE ความยาว 2.2 เมตร.....	62
4.24 แสดงความสัมพันธ์ระหว่างจำนวนจุดเชื่อมกับความต้านทาน ที่เปลี่ยนแปลงของสายเคเบิล KICKLESS ชนิด STRAIGHT TYPE ความยาว 2.0 เมตร.....	63
ก.1 แสดงผังกระบวนการเชื่อมประกอบตัวถังของสายการประกอบหัวแก้ง.....	70
ก.2 แสดงผังกระบวนการเชื่อมประกอบตัวถังของสายการประกอบกระบะท้าย.....	71
ก.3 ภาพแสดงการประกอบหัวแก้งรถกระบะในขบวนการ Main Body.....	72
ก.4 ภาพแสดงการเชื่อม CO ₂ ของสายการประกอบตัวถัง (หัวแก้ง).....	72
ก.5 ภาพแสดงการประกอบตัวถังของสายการประกอบตัวถังกระบะท้าย ในขบวนการ BIG GUN.....	73
ก.6 ภาพแสดงการประกอบฝาท้ายของสายการประกอบตัวถังกระบะท้าย.....	73
ก.7 แสดงอุปกรณ์ชุดปืนเชื่อมความต้านทาน.....	74
ก.8 แสดงการหลอมเหลวของโลหะ ซึ่งเกิดจากขบวนการ Spot Welding แสดง ให้เห็นภาพตัดของการเกิด Nugget Diameter.....	75
ก.9 แสดงการกระจายอุณหภูมิของการหลอมเหลวของขบวนการ Resistance Welding.....	75
ก.10 แสดงการวัดกระแสเชื่อม.....	78
ก.11 แสดงการวัดแรงกดของตัวอิเล็กโทรด.....	78
ก.12 แสดงหัวเชื่อมอิเล็กโทรดที่เสื่อมสภาพ.....	79
ก.13 แสดงหัวอิเล็กโทรดของเครื่องเชื่อมจุด.....	80
ก.14 แสดงการปรับหัวอิเล็กโทรดใหม่.....	80
ก.15 แสดงวิธีตรวจสอบปลายอิเล็กโทรด.....	80
ก.16 แสดงท่อหล่อน้ำเย็นหัวอิเล็กโทรด.....	82

สารบัญรูป(ต่อ)

รูปที่	หน้า
ก.17 แสดงเครื่องมือที่ใช้ตอกอัดเพื่อตรวจสอบความแข็งแรงของการเชื่อม.....	83
ก.18 แสดงการตอกลิ้มที่จุดเชื่อมด้วยวิธีต่าง ๆ	84
ก.19 แสดงการวัดค่าความโตของจุดเชื่อม	85
ข.1 ภาพแสดงการเตรียมชิ้นงานแบบ two - plate Lap Joint.....	87
ข.2 ภาพแสดงการเตรียมชิ้นงานแบบ three - plate Lap Joint.....	88
ข.3 การเตรียมชิ้นงาน For Plate Thickness Under 5 มิลลิเมตร.....	89
ข.4 แสดงการเตรียมชิ้นงานแบบ For Plate Thickness.....	89
ข.5 แสดงอุปกรณ์ช่วยจับยึดชิ้นงานบนเครื่องทดสอบ Tensile Test.....	90
ข.6 แสดงการทดสอบแบบ U - type tensile test.....	90
ข.7 แสดงการทดสอบค่า Shear strength ของจุดเชื่อมแผ่นเหล็กหนา 0.8 มิลลิเมตร กับ 0.8 มิลลิเมตร บนเครื่องทดสอบแรงดึง.....	92
ข.8 แสดงการทดสอบค่า Shear strength ของจุดเชื่อมแผ่นเหล็กหนา 0.8 มิลลิเมตร กับ 1.0 มิลลิเมตร บนเครื่องทดสอบแรงดึง.....	92
ค.1 oc curve สำหรับ Fixed effects Model analysis of Variance (Montgomery,1984).....	96

ศูนย์วิทยทรัพยากร
จุฬาลงกรณ์มหาวิทยาลัย